

Mouvements de Markov sur les applications de Burau L^2

Fathi Ben Aribi

UCLouvain

15 décembre 2020

B.A., Conway 2018 : Construction des **applications de Burau** L^2 $\mathcal{B}_{t,\gamma}^{(2)}$ des groupes de tresses B_n , où $t > 0$ et $\gamma: \mathbb{F}_n \rightarrow G$.

Pour $\gamma: \mathbb{F}_n \rightarrow G_K$, lien avec $T_K^{(2)}(t)$ **la torsion d'Alexander** L^2 .

Question

Quels autres **invariants de nœuds** peut-on construire via $\mathcal{B}_{t,\gamma}^{(2)}$?

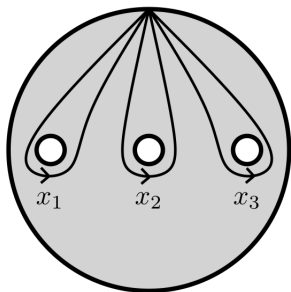
Théorème (B.A. 2020+)

- 1 Pour γ plus bas que G_K : **invariants d'Alexander** L^2 **tordus**.
- 2 Pour certains autres γ : **pas d'invariant de nœuds**.

Méthode : Appliquer les **mouvements de Markov** aux $\mathcal{B}_{t,\gamma}^{(2)}$.

- 1 Préliminaires (Artin, Fox, Burau)
- 2 Applications de Burau L^2
- 3 Torsions d'Alexander L^2
- 4 Mouvements de Markov et nouveaux invariants

Groupe libre $\mathbb{F}_n = \langle x_1, \dots, x_n \mid \rangle \cong \pi_1(D^2 \setminus \{p_1, \dots, p_n\})$.



Artin: Une tresse $\beta \in B_n$ induit un automorphisme $h_\beta \in \text{Aut}(\mathbb{F}_n)$.

Exemple: Pour $\sigma_1 \in B_2$, $h_{\sigma_1}: x_1 \mapsto x_1 x_2 x_1^{-1}$, $x_2 \mapsto x_1$.

$$B_n \hookrightarrow \text{Aut}(\mathbb{F}_n)$$

Les **dérivées de Fox** sur \mathbb{F}_n sont des applications linéaires

$\frac{\partial}{\partial x_i} : \mathbb{Z}\mathbb{F}_n \rightarrow \mathbb{Z}\mathbb{F}_n$ (où $i = 1, \dots, n$), définies inductivement par:

$$\frac{\partial}{\partial x_i}(x_j) = \delta_{i,j}, \quad \frac{\partial}{\partial x_i}(x_j^{-1}) = -\delta_{i,j}x_j^{-1},$$

$$\frac{\partial}{\partial x_i}(uv) = \frac{\partial}{\partial x_i}(u) + u \frac{\partial}{\partial x_i}(v).$$

$\left(\frac{\partial f(x_j)}{\partial x_i}\right)_{i,j} \in GL_n(\mathbb{Z}\mathbb{F}_n)$ est le **jacobien de Fox** de $f \in \text{Aut}(\mathbb{F}_n)$.

Exemple: Pour $\sigma_1 \in B_2$, $h_{\sigma_1} : x_1 \mapsto x_1x_2x_1^{-1}$, $x_2 \mapsto x_1$, et

$$\left(\frac{\partial h_{\sigma_1}(x_j)}{\partial x_i}\right) = \begin{pmatrix} 1 - x_1x_2x_1^{-1} & 1 \\ x_1 & 0 \end{pmatrix}.$$

$$\text{Aut}(\mathbb{F}_n) \hookrightarrow GL_n(\mathbb{Z}\mathbb{F}_n)$$

Le changement de coefficients $\kappa(\Phi_n, \gamma, t)$

On définit un **morphisme d'anneaux** $\kappa(\Phi_n, \gamma, t)$: pour

- $\Phi_n: \mathbb{F}_n \rightarrow \mathbb{Z}, x_i \mapsto 1$, l'épimorphisme d'**augmentation**.
- $\gamma: \mathbb{F}_n \rightarrow G$ tel que Φ_n factorise par γ ,
- $t > 0$,

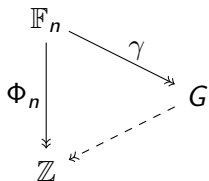
on définit $\kappa(\Phi_n, \gamma, t): \mathbb{Z}\mathbb{F}_n \rightarrow \mathbb{R}G$ par $g \mapsto t^{\phi(g)}\gamma(g)$.

Exemple: Pour $n = 2$ et $\gamma = T^{\Phi_2}: (\mathbb{F}_2 \rightarrow T^{\mathbb{Z}} = \{T^m, m \in \mathbb{Z}\})$,

$$\kappa(\Phi_2, T^{\Phi_2}, t): \begin{pmatrix} 1 - x_1 x_2 x_1^{-1} & 1 \\ x_1 & 0 \end{pmatrix} \mapsto \begin{pmatrix} 1 - tT & 1 \\ tT & 0 \end{pmatrix}.$$

$\kappa(\Phi_n, \gamma, t)$ induit $GL_n(\mathbb{Z}\mathbb{F}_n) \rightarrow GL_n(\mathbb{R}G)$.

$$B_n \xrightarrow{\text{Artin}} \text{Aut}(\mathbb{F}_n) \xrightarrow{\text{Fox}} GL_n(\mathbb{Z}\mathbb{F}_n) \xrightarrow{\kappa(\Phi_n, \gamma, t)} GL_n(\mathbb{R}G)$$



Considérons les applications

$$\beta \mapsto \kappa(\Phi_n, \gamma, t) \left(\frac{\partial h_\beta(x_j)}{\partial x_i} \right)_{1 \leq i, j \leq n}$$

pour différents $\gamma: \mathbb{F}_n \rightarrow G$.

- $\gamma = \text{Id}_{\mathbb{F}_n}$: jacobien de l'action d'Artin, toujours **injective**.

$$B_2 \ni \sigma_1 \mapsto \begin{pmatrix} 1 - x_1 x_2 x_1^{-1} & 1 \\ x_1 & 0 \end{pmatrix}.$$

- $\gamma = T^{\Phi_n}$: **rep. de Burau**, qui est **non injective** pour $n \geq 5$.

$$B_2 \ni \sigma_1 \mapsto \begin{pmatrix} 1 - tT & 1 \\ tT & 0 \end{pmatrix}.$$

Problème : Extraire de l'info de $M_n(\mathbb{R}G)$ si G est non commutatif.

→ Sur $\ell^2(G)$ il y a le **déterminant de Fuglede-Kadison**.

On remplace donc l'algèbre $\mathbb{R}G$ par l'espace de Hilbert

$$\ell^2(G) := \left\{ \sum_{g \in G} \lambda_g g \mid \lambda_g \in \mathbb{C}, \sum_{g \in G} |\lambda_g|^2 < \infty \right\}.$$

Opérateurs **bornés** G -équivariants typiques:

$$R_h: \ell^2(G) \rightarrow \ell^2(G), g \mapsto gh,$$

l'opérateur **multiplication à droite** par $h \in G$.

L'opération R . induit $GL_n(\mathbb{R}G) \hookrightarrow B(\ell^2(G)^n)$.

$$B_n \xrightarrow{\text{Artin}} \text{Aut}(\mathbb{F}_n) \xrightarrow{\text{Fox}} GL_n(\mathbb{Z}\mathbb{F}_n) \xrightarrow{\kappa(\Phi_n, \gamma, t)} GL_n(\mathbb{R}G) \xrightarrow{R} B(\ell^2(G)^n),$$

L'application de Burau L^2 associée à $t > 0$ et $\gamma: \mathbb{F}_n \rightarrow G$ est:

$$\mathcal{B}_{t, \gamma}^{(2)}: \begin{pmatrix} B_n & \rightarrow & B(\ell^2(G)^n) \\ \beta & \mapsto & R_A \end{pmatrix}, \text{ où } A = \kappa(\Phi_n, \gamma, t) \left(\frac{\partial h_\beta(x_j)}{\partial x_i} \right)_{1 \leq i, j \leq n}.$$

L'application de Burau L^2 réduite associée aux mêmes t, γ est:

$$\bar{\mathcal{B}}_{t, \gamma}^{(2)}: \begin{pmatrix} B_n & \rightarrow & B(\ell^2(G)^{n-1}) \\ \beta & \mapsto & R_{A'} \end{pmatrix}, \text{ où } A' = \kappa(\Phi_n, \gamma, t) \left(\frac{\partial h_\beta(g_j)}{\partial g_i} \right)_{1 \leq i, j \leq n-1}.$$

où $g_1 = x_1, g_2 = x_1 x_2, \dots, g_n = x_1 \dots x_n$ engendrent aussi \mathbb{F}_n .

$$B_n \xrightarrow{\text{Artin}} \text{Aut}(\mathbb{F}_n) \xrightarrow{\text{Fox}} GL_n(\mathbb{Z}\mathbb{F}_n) \xrightarrow{\kappa(\Phi_n, \gamma, t)} GL_n(\mathbb{R}G) \xrightarrow{R} B(\ell^2(G)^n),$$

L'application de Burau L^2 associée à $t > 0$ et $\gamma: \mathbb{F}_n \rightarrow G$ est:

$$\mathcal{B}_{t, \gamma}^{(2)}: \begin{pmatrix} B_n & \rightarrow & B(\ell^2(G)^n) \\ \beta & \mapsto & R_A \end{pmatrix}, \text{ où } A = \kappa(\Phi_n, \gamma, t) \left(\frac{\partial h_\beta(x_j)}{\partial x_i} \right)_{1 \leq i, j \leq n}.$$

L'application de Burau L^2 **réduite** associée aux mêmes t, γ est:

$$\overline{\mathcal{B}}_{t, \gamma}^{(2)}: \begin{pmatrix} B_n & \rightarrow & B(\ell^2(G)^{n-1}) \\ \beta & \mapsto & R_{A'} \end{pmatrix}, \text{ où } A' = \kappa(\Phi_n, \gamma, t) \left(\frac{\partial h_\beta(g_j)}{\partial g_i} \right)_{1 \leq i, j \leq n-1}.$$

où $g_1 = x_1$, $g_2 = x_1 x_2$, \dots , $g_n = x_1 \dots x_n$ engendrent aussi \mathbb{F}_n .

Formule d'(anti-)**multiplication**: $\forall \alpha, \beta \in B_n$,

$$\mathcal{B}_{t,\gamma}^{(2)}(\alpha\beta) = \mathcal{B}_{t,\gamma}^{(2)}(\beta) \circ \mathcal{B}_{t,\gamma \circ h_\beta}^{(2)}(\alpha).$$

Conséquence : Plus $\gamma: \mathbb{F}_n \rightarrow G$ est **injectif**, moins $\mathcal{B}_{t,\gamma}^{(2)}$ ressemble à une (anti-)**représentation de groupe**.

$\mathcal{B}_{t,\gamma}^{(2)}$ est une (anti-)rep. du **sous-groupe** $\{\beta \in B_n, \gamma \circ h_\beta = \gamma\}$.

On peut quand même **calculer** $\mathcal{B}_{t,\gamma}^{(2)}(\beta)$ via les images des σ_i .

(Dubois-Friedl-Lück 14) **Torsion d'Alexander** L^2 de l'entrelacs L :

$$T_L^{(2)}: \begin{pmatrix} \mathbb{R}_{>0} & \longrightarrow & \mathbb{R}_{\geq 0} \\ t & \longmapsto & T_L^{(2)}(t) \end{pmatrix}.$$

Quelques propriétés:

(Lück-Schick 99) $T_L^{(2)}(1)$ contient le **volume** de $S^3 \setminus L$.

(Friedl-Lück, Liu 15) $T_L^{(2)}(0^+)$, $T_L^{(2)}(+\infty)$ donnent le **genre** $g(L)$.

(Miscellaneous) $T_L^{(2)}$ est **nulle** ssi L est **scindé**.

Bureau L^2 à l'étage du groupe de l'entrelacs

La torsion d'Alexander L^2 est définie avec le **déterminant de Fuglede-Kadison** $\det_G: R_{M_n(\mathbb{Z}G)}(\subset B(\ell^2(G)^n)) \rightarrow \mathbb{R}_{\geq 0}$.

(difficile à calculer !)

Pour $\gamma = \gamma_\beta: \mathbb{F}_n \rightarrow G_\beta \cong \pi_1(S^3 \setminus \hat{\beta})$ le quotient par $h_\beta(x_i) = x_i$, Bureau L^2 **réduite** $\overline{\mathcal{B}}_{t, \gamma_\beta}^{(2)}$ donne la torsion d'Alexander L^2 $T_{\hat{\beta}}^{(2)}$:

Théorème (B.A.-Conway 17)

Soit $\beta \in B_n$, $L = \hat{\beta}$ sa fermeture et $t > 0$. On a alors:

$$T_L^{(2)}(t) \cdot \max(1, t)^n = \det_{G_L} \left(\overline{\mathcal{B}}_{t, \gamma_\beta}^{(2)}(\beta) - \text{Id}^{\oplus(n-1)} \right).$$

Les **mouvements de Markov** sur les tresses $\sqcup_{n \geq 1} B_n$ sont:

- Markov 1, la **conjugaison** : $\beta \mapsto \alpha^{-1} \beta \alpha$, où $\alpha, \beta \in B_n$.
- Markov 2, les **stabilisations** : $B_n \ni \beta \mapsto \sigma_n^{\pm 1} \beta \in B_{n+1}$.

Markov : $\hat{\beta}$ et $\hat{\beta}'$ sont des entrelacs isotopes ssi β et β' sont reliées par un nombre fini de Markov 1, Markov 2 et leurs inverses.

Une fonction F sur $\sqcup_{n \geq 1} B_n$ est une **fonction de Markov** si elle est invariante par les mouvements de Markov.

→ F donne un **invariant d'entrelacs**.

Question

Pour quels γ a-t-on $\beta \mapsto \det_G \left(\overline{B}_{t,\gamma}^{(2)}(\beta) - \text{Id}^{\oplus(n-1)} \right)$
fonction de Markov ?

La Markov-admissibilité d'une famille d'épimorphismes

Une famille \mathcal{Q} d'épimorphismes de groupes libres

$$\mathcal{Q} = \{ Q_\beta : \mathbb{F}_{n(\beta)} \twoheadrightarrow G_{Q_\beta} \mid \beta \in \sqcup_{n \geq 1} B_n \}$$

est **Markov-admissible** si pour toute paire de tresses β, β' reliées par un mouvement de Markov, Q_β et $Q_{\beta'}$ sont "comparables".

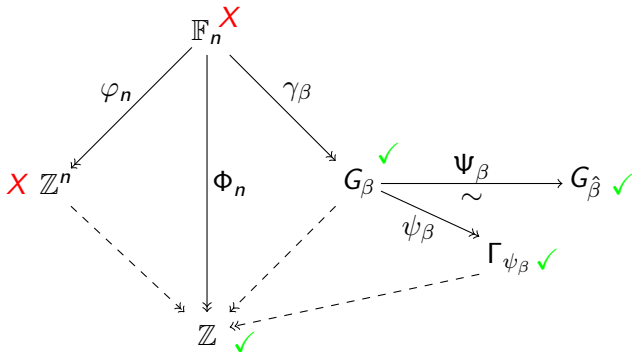
$$\begin{array}{ccc} \mathbb{F}_n & \xrightarrow[h_\alpha]{\sim} & \mathbb{F}_n \\ \downarrow Q_\beta & & \downarrow Q_{\alpha^{-1}\beta\alpha} \\ G_{Q_\beta} & \xrightarrow[\sim]{\exists \chi_{\beta,\alpha}^Q} & G_{Q_{\alpha^{-1}\beta\alpha}} \end{array}$$

$$\begin{array}{ccc} \mathbb{F}_n & \xleftarrow{l_n} & \mathbb{F}_{n+1} \\ \downarrow Q_\beta & & \downarrow Q_{\sigma_n^\varepsilon \beta} \\ G_{Q_\beta} & \xleftarrow[\sim]{\exists \sigma_{\beta,\varepsilon}^Q} & G_{Q_{\sigma_n^\varepsilon \beta}} \end{array}$$

But : Construire une **fonction de Markov** sur $\sqcup_{n \geq 1} B_n$ via \mathcal{Q} .

Plusieurs familles d'épimorphismes Markov-admissibles

- $Id_{\mathbb{F}_n} :=$ l'identité sur \mathbb{F}_n .
- $\varphi_n :=$ l'abélianisation de \mathbb{F}_n vers \mathbb{Z}^n .
- $\gamma_\beta :=$ le quotient par $h_\beta(x_i) = x_i$ (\Leftrightarrow fermeture de β).
- $\Phi_n :=$ l'augmentation de \mathbb{F}_n vers \mathbb{Z} .



$\det(\text{Bureau}^{(2)} - \text{Id})$ est **fonction de Markov** ? ✓: Oui. ✗: Non.

Obtenir des fonctions de Markov

Pour $\mathcal{Q} = \{Q_\beta\}_{\beta \in \sqcup_{n \geq 1} B_n}$ Markov-admissible et $t > 0$, on définit:

$$F_{\mathcal{Q}} := \left(\begin{array}{l} \sqcup_{n \geq 1} B_n \rightarrow \mathcal{F}(\mathbb{R}_{>0}, \mathbb{R}_{>0}) / \{t \mapsto t^m, m \in \mathbb{Z}\} \\ \beta \mapsto \left[t \mapsto \frac{\det_{G_{Q_\beta}} \left(\overline{B}_{t, Q_\beta}^{(2)}(\beta) - \text{Id}^{\oplus(n-1)} \right)}{\max(1, t)^n} \right] \end{array} \right)$$

Théorème (B.A. 2020+)

- 1 Si $\{Q_\beta\} = \{\psi_\beta \circ \gamma_\beta\}$, alors $F_{\mathcal{Q}}$ est de Markov, et l'invariant associé est une torsion d'Alexander L^2 tordue par ψ_β .
- 2 Si les Q_β sont les identités $\text{Id}_{\mathbb{F}_{n(\beta)}}$ ou les abélianisations $\varphi_{n(\beta)}$, alors $F_{\mathcal{Q}}$ n'est pas de Markov.

Idee de la preuve du Théorème 1

Conjugaison : Pour $\gamma: \mathbb{F}_n \rightarrow G$, la formule de produit donne:

$$\overline{\mathcal{B}}_{t,\gamma}^{(2)}(\alpha^{-1}\beta\alpha) = \overline{\mathcal{B}}_{t,\gamma}^{(2)}(\alpha) \circ \overline{\mathcal{B}}_{t,\gamma \circ h_\alpha}^{(2)}(\beta) \circ \left(\overline{\mathcal{B}}_{t,\gamma \circ h_{\alpha^{-1}\beta\alpha}}^{(2)}(\alpha) \right)^{-1},$$

qui est une **conjugaison** si γ va assez bas pour que $\gamma \circ h_{\alpha^{-1}\beta\alpha} = \gamma$.

✓ pour $\gamma = \psi_\beta \circ \gamma_\beta$.

Stabilisations : Par des opérations élémentaires, on obtient

$$\overline{\mathcal{B}}_{t,\gamma}^{(2)}(\sigma_n^{\pm 1}\beta) \approx \begin{pmatrix} \overline{\mathcal{B}}_{t,\gamma}^{(2)}(\beta) & * \\ (\gamma \circ h_\beta - \gamma)(*) & * \end{pmatrix},$$

où $*$ a un déterminant de Fuglede-Kadison connu.

✓ pour $\gamma = \psi_\beta \circ \gamma_\beta$.

On montre dans les deux cas que $F_{\mathbb{Q}}(\sigma_1^{-1}) \neq F_{\mathbb{Q}}(\sigma_2\sigma_1^{-1})$.

Difficulté : Pour prouver que deux déterminants de Fuglede-Kadison sont **différents**, il faut les **calculer**.

Pour les abélianisations $\varphi_n: \mathbb{F}_n \rightarrow \mathbb{Z}^n$,

$$F_{\mathbb{Q}}(\sigma_2\sigma_1^{-1}) = \det_{\mathbb{Z}^3} (\text{Id} + R_x + R_y) = 1.38135\dots \neq 1 = F_{\mathbb{Q}}(\sigma_1^{-1}).$$

(Boyd, calculs de **mesures de Mahler**)

Pour les identités $\text{Id}_{\mathbb{F}_n}$,

$$F_{\mathbb{Q}}(\sigma_2\sigma_1^{-1}) = \det_{\mathbb{F}_2} (\text{Id} + R_x + R_y) = \frac{2}{\sqrt{3}} = 1.15\dots \neq 1 = F_{\mathbb{Q}}(\sigma_1^{-1}).$$

(Bartholdi-Dasbach-Lalin, **marches aléatoires** sur des **arbres**)

- Trouver de plus larges classes de \mathcal{Q} telles que $F_{\mathcal{Q}}$ n'est pas de Markov.
- Essayer d'obtenir des invariants d'entrelacs depuis Burau L^2 par **d'autres formules** que $\det(\cdot - \text{Id})$.
- (avec C. Anghel) Adapter ces techniques à de futures versions L^2 des **représentations de Lawrence** des groupes de tresses, qui sont connues pour donner des **invariants quantiques**.